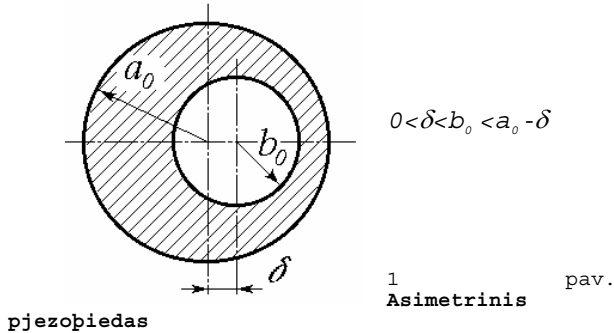


Asimetrinio piedinio pjezoelemento akustinio lauko teorinis tyrimas

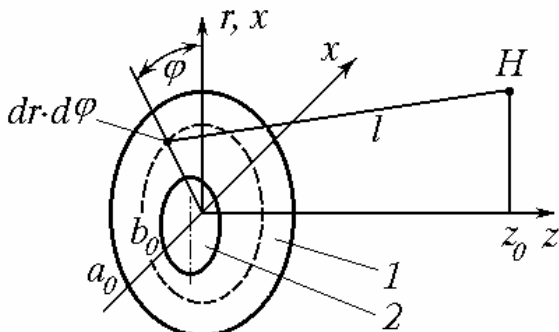
N. Sajauskas, S. Sajauskas

Kauno technologijos universitetas
K. Donelaičio g. 73, 3006 Kaunas

Vienu iš galimų būdų išvengti diskiniu pjezoelementu pažalinių radialinių virpesių modų yra asimetrinės kiaurymės Jame padarymas [1,2]. Diskinis pjezolementas su asimetrine kiauryme (asimetrinis pjezopiedas) (1 pav.) yra tarpinis variantas tarp pjezolektrinių diskų ir piedo, todėl jo sukuriama akustinių laukui apraodytai netinka nei diskinių [3] nei piedinių [4] pjezoelementų laukà apraodanèios lygtys.



laukas Frenelio srityje skaièiuojamas pagal lygtis, iðvestas ið Reilio formulës, ávertinanèias pjezolemento virpesių pasiskirstymà spinduliuojanèiame pavirðiuje.



2 pav. Asimetrinio pjezopiedo schema: 1 - pjezopiedas; 2 - kiaurymë

Asimetrinio plokðejojo pjezopiedo normuotas akustinio slëgio laukas Frenelio srityje (2 pav.) apraodomas lygtimi

$$p_n(x, z) = \frac{p(x, z)}{p_{max}(x, z)} = \omega \rho c \left\{ \sqrt{\left[\int_0^{1/2\pi} \int_0^R \frac{U_1(r) \cos ka_0 l_1}{l_1} R_1 dR_1 d\varphi \right]^2 + \left[\int_0^{1/2\pi} \int_0^R \frac{U_1(r) \sin ka_0 l_1}{l_1} R_1 dR_1 d\varphi \right]^2} \right.$$

$$\left. - \sqrt{\left[\int_0^{1/2\pi} \int_0^R \frac{U_2(r) \cos kb_0 l_2}{l_2} R_2 dR_2 d\varphi \right]^2 + \left[\int_0^{1/2\pi} \int_0^R \frac{U_2(r) \sin kb_0 l_2}{l_2} R_2 dR_2 d\varphi \right]^2} \right\},$$

èia $\omega = 2\pi f$, f - virpesiø daþnis; ρ - terpës tankis; c - garso greitis terpëje; $U_1(r)$, $U_2(r)$ - realus

virpesiø pasiskirstymai pjezopiedo ir tariamas pasiskirstymas kiaurymës apertûrose; $k = 2\pi/\Lambda$, Λ - akustinës bangos ilgis;

$$l_1 = \sqrt{R_1^2 + X_1^2 + Z_1^2 - 2R_1 X_1 \cos \varphi},$$

$l_2 = \sqrt{R_2^2 + X_2^2 + Z_2^2 - 2R_2 X_2 \cos \varphi}$ - lauko taðko atstumas nuo pjezopiedo pavirðiaus taðko ir nuo kiaurymës taðko, $R_1 = r/a_0$, $X_1 = x/a_0$,

$Z_1 = z/a_0$; $R_2 = r/b_0$, $X_2 = (x+\delta)/b_0$, $Z_2 = z/b_0$ - normuotos pjezopiedo pavirðiaus ir kiaurymës

koordinatës cilindrinëje koordinaðiø sistemoje, a_0 ir b_0 - iðorinis pjezopiedo ir kiaurymës radiusai, δ - kiaurymës postûmis pjezopiedo atþvilgiu (1 pav.).

Asimetrinio pjezopiedo akustinio lauko trimaðio pasiskirstymo skaièiavimas reikalauja gana daug kompiuterio resursø, todël jis buvo vykdomas greitaveikiu IBM - 486/120 MHz kompiuteriu, naudojant profesionalø programø paketà Mathcad 6.0 Plus. Siekiant ávertinti

asimetrinės kiaurymės átakà akustiniams laukui Frenelio ($z \leq z_0 \approx a_0^2/\Lambda$) srityje, kaip etaloninis buvo suskaièiuotas pjezdisko akustinis laukas, esant $a_0 = 2 \cdot 10^{-3}$ m, $f = 2 \cdot 10^6$ Hz, $a_0/\Lambda = 2,66$, $z_0 = 0,533$ m, virpanèio vandenyje ($c = 1500$ m/s, $\rho = 1 \cdot 10^3$ kg/m³) (3 pav.). Paprastumo dëlei visuose skaièiavimuose priimta, kad virpesiø

pasiskirstymas visame virpanèiame pavirðiuje yra tolygus ($U_1(r) = U_2(r) = 1$). 3a pav. parodytas pjezdisko trimatis akustinis laukas. Nepiûrint á trimaèio akustinio lauko vaizdumà, jo konfigûracijai ir simetriðkumui ávertinti patogesnis yra akustinio lauko atvaizdavimas vienodo lygio lauko linijomis (3b pav.).

a)

b)

3 pav. Pjezdisko akustinis laukas vandenyje ($c = 1,5 \cdot 10^6$ m/s, $\rho = 1 \cdot 10^3$ kg/m³) Frenelio srityje: a) - trimatis normuoto slégio vaizdas, b) - normuoto slégio vienodo lygio linijø laukas. $a_0 = 2 \cdot 10^{-3}$ m; $f = 2 \cdot 10^6$ Hz

a)

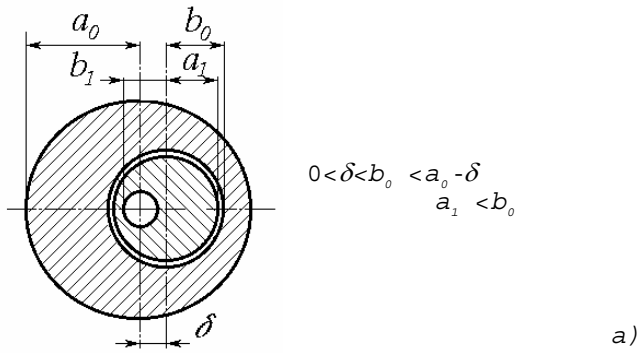
b)

4 pav. Asimetrinio pjezopiedo ($a_0 = 2 \cdot 10^{-2}$ m; $b_0 = 1 \cdot 10^{-2}$ m; $f = 2 \cdot 10^6$ Hz) akustinis laukas vandenyje Frenelio srityje: a) - $\delta = 3 \cdot 10^{-3}$ m;
b) - $\delta = 6 \cdot 10^{-3}$ m

Asimetrinio pjezopiedo akustinio suskaièiuoti laukai asimetriðkumui ávertinti pjezopiedø su kiaryme ($b = 0,01$ m),

esant santiykiniams jos centro postūmiams atþviliu disko centro $\delta/b = 0,3$ ir $0,6$ (4 pav.). Sprendjiant pagal akustinio lauko deformacijas Frenelio srityje (4a pav.), galima daryti iðvadà apie asimetriðiniø pjezopiedø netinkamumà tiksliems aksialiniams matavimams. Pjezopiedo su necentriðka kiaurymë kryptingumo charakteristikos asimetriðkumui paðalinti pasiûlytas sudëtinis pjezopiedas, sudarytas ið dviejø

analogiðkø asimetriðiniø pjezopiedø, kuriø antrasis patalpintas pirmojo kiaurymëje taip, kad antrojo disko kiaurymës centras sutaptø su pirmojo disko centru (5 pav.) [2,5]. Tokio sudëtinio pjezoelemento akustinis laukas (6 pav.) yra simetriðkas, ir, esant vidinio pjezopiedo kiaurymës radiusui $r_2 < a$, yra identiðkas diskiniø pjezoelemento akustiniams laukui (3 pav.).



b)

5 pav. Sudëtinis kvazisimetris pjezopiedas - a) ir jo akustinis laukas vandenyje Frenelio srityje - b): ($a_0 = 2 \cdot 10^{-3}$ m; $b_0 \approx a_1 = 1 \cdot 10^{-3}$ m;
 $b_1 = 0,2 \cdot 10^{-3}$ m; $f = 2 \cdot 10^6$ Hz)

Tokiui bûdu asimetriðnio pjezopiedo trimaðio akustinio lauko Frenelio srityje skaiðiavimai parodë, kad dël þymaus akustinio lauko asimetriðkumo aksialiniams matavimams tikslinga naudoti sudëtinius pjezoelementus, sudarytus ið dviejø asimetriðniø pjezopiedø.

Autoriai dëkingi A. Maðoniui uþ suteiktas vaisingas konsultacijas.

Literatûros sàraðas

1. **À. ñ. 1490616 NÑND.** Iðuaciýëâiðið aëy ñeüððaçâðêiðûð èciâðâfëéñ. È. Naujõñéan. Áþeëâðâið èciâðâðâfëé. 1989. '24.
2. **S. Sajauskas.** Izotropiniø kietø kûnø elektroakustiniai tyrimo metodai. Kaunas: Technologija. 1994. P.124-125.
3. **N. Í. Dæââeéi.** Èóðñ eâeöde ið ðaâiððe çâoëa. - Iññëâa: èçä. Iññëâññëiðið òfâââðñèoâoâ. 1960.

4. **À. Iðoñið.** Àeóñðe-âññëiðið iññëâ ñeñðiðiðið - èiðiððââiðið iðââðaçâðâðâeëy â iññëâðûðâiðið ðâaxëiâ//Oéüððââðñâ. 1991. '23. N.100-109.

5. **Lietuvos Resp. pat. N. 2014.** Pjezoelementas ultragarsiniams matavimams/ S. Sajauskas ir kt. //Lietuvos Resp. valst. pat. biul. 1993. N. 2.

N. Sajauskas, S. Sajauskas

Theoretical Investigations of the Acoustical Field of Asymmetric Piezoelectric Ring

Summary

Calculation results of piezoelectric disk with asymmetrical hole are presented there. For eliminating acoustic field distortions is proposed composit piezoelement. This piezoelement consists of two disks with asymmetrical holes. One of these disks is set into the hole of the other.